

بررسی عددی و تجربی اثر هندسه چرخ متحرک بر عملکرد پمپ گریز از مرکز هنگام پمپ روغن

استاد دانشکده مهندسی مکانیک، دانشگاه علم و صنعت	محمد حسن شجاعی فرد
دانشجوی دکتری دانشکده مهندسی مکانیک، دانشگاه علم و صنعت	مجتبی طحانی
استادیار دانشکده مهندسی مکانیک، دانشگاه تبریز	میربیوک احراقی
کارشناس ارشد دانشکده مهندسی مکانیک، دانشگاه علم و صنعت	مهدی بغلری
کارشناس ارشد دانشکده مهندسی مکانیک، دانشگاه علم و صنعت	هادی فلاح
دانشجوی کارشناسی ارشد دانشکده مهندسی مکانیک، دانشگاه علم و صنعت	بهزاد سلیمیان ریزی
	چکیده

عملکرد پمپ های گریز از مرکز هنگام پمپ روغن سیالات لزج به شدت افت پیدا می کند. این افت می تواند با تعویض چرخ متحرک اصلی پمپ گریز از مرکز بهبود پیدا کند. جایگزینی چرخ متحرک پمپ نسبت به تعویض کل پمپ بسیار مقرون به صرفه می باشد. در مطالعه پیش رو تأثیرات زاویه خروجی پره و پهنهای پاساژ چرخ متحرک بر روی عملکرد پمپ گریز از مرکز هنگام انتقال یک روغن خاص، به صورت تجربی و عددی بررسی شده است. به کمک یک دستگاه تست پارامترهای عملکردی یک پمپ گریز از مرکز هنگام پمپ روغن صنعتی به عنوان یک سیال لزج اندازه گیری شده است. حریان سه بعدی در پمپ گریز از مرکز مشتمل بر هندسه اصلی و تغییرات کاربردی در هندسه آن به صورت عددی شبیه سازی شده است. برای گستینه سازی معادلات حاکم بر جریان از روش حجم محدود و برای حل از الگوریتم دقت بالا استفاده شده است. مدل آشفتگی مورد استفاده در شبیه سازی عددی $k-\omega$ SST می باشد. نتایج عددی حاصله با نتایج تجربی مقایسه شده و تطابق قابل قبولی را ارائه می کنند. در نهایت، چرخ متحرک بهبود یافته پیشنهاد شده و نمودارهای عملکردی پمپ برای چرخ متحرک های مختلف نشان داده شده است.

کلمات کلیدی: دینامیک سیالات محاسباتی، سیال لزج، زاویه خروجی پره، پهنهای پاساژ، پمپ گریز از مرکز

Numerical and Experimental Investigation of Impeller Geometry Effect on the Centrifugal Pump Performance during Oil Pumping

M.H. ShojaeeFard	Professor, School of Mechanical Engineering, Iran University of Science and Technology
M. Tahani	Ph.D.Student, School of Mechanical Engineering, Iran University of Science and Technology
M.B. Ehghaghi	Assistant Professor, Department of Mechanical Engineering, University of Tabriz
M. Beglari	M.Sc., School of Mechanical Engineering, Iran University of Science and Technology
H. Fallah	M.Sc., School of Mechanical Engineering, Iran University of Science and Technology
B. Salimian Rizi	M.Sc. Student, School of Mechanical Engineering, Iran University of Science and Technology

Abstract

Centrifugal pump performance severely drops during pumping viscous fluids. This reduction can be improved by altering the original impeller. Replacing the impeller of a pump is more cost effective in comparison to replacement of the whole of the pump. In the present study the effects of the blade outlet angle and width of impeller passage on the centrifugal pump performance when handling special oil has been investigated experimentally and numerically. The performance parameters of a centrifugal pump have been measured on a test rig when handling industrial oil as a viscous fluid. The three-dimensional flow in a centrifugal pump including original impeller and applied changes in geometry has been numerically simulated. The finite volume method has been used for the discretization of the governing equations, and the High Resolution algorithm has been employed to solve the equations. Also, the "k- ω SST" has been adopted as the turbulence model in the simulation. Numerical results have been compared with experimental results, and there is good agreement between these results. Finally, the improved impeller has been performed, and the performance diagrams of the pump have been demonstrated for impellers.

Keywords: Computational fluid dynamics, Viscous fluid, Blade outlet angle, Passage width, Centrifugal pump

۱- مقدمه

ویدوت زو و همکارانش، جریان سیال آب در چرخ گریز از مرکز را با استفاده از دینامیک سیالات محاسباتی بررسی کردند. در سال ۲۰۰۶ [۸]، کارگولی، اثرات وجود پره های جداسده در میدان جریان آب پمپ گریز از مرکز را بررسی کرد. در سال ۲۰۰۷ [۹]، چه آ، شبیه سازی عددی جریان آب در پمپ گریز از مرکز را در شرایط طراحی و شرایط خارج از طراحی انجام داد. در این تحقیق، وی از پمپ گریز از مرکز با شش پره استفاده کرد و معادلات سه بعدی ناویراستوکس را با مدل آشفتگی $E - k$ استاندارد در نقطه کارکرد طرح و نقاط خارج از نقطه طرح به کار گرفت. در سال ۲۰۰۷ [۱۰ و ۱۱]، شجاعی فرد و همکاران، اثرات زاویه خروجی جریان از چرخ را هنگام انتقال روغن مورد بررسی قراردادند و نشان دادند که افزایش زاویه خروجی پره ۲۰۰۸ [۱۲]، کلیموسکی، محدوده زاویه خروجی پره چرخ پمپ را به دست آورد، که منجر به کاهش اثلاف هیدرولیکی در دیفیوز شد. در سال ۲۰۰۹ [۱۳]، جان آنگ نوستوبولوس، روش عددی سریع برای آنالیز جریان و طراحی پره در چرخ گریز از مرکز را ارائه کرد. در این تحقیق روش عددی برای جریان دوبعدی و آشته را در پروانه پمپ گریز از مرکز توسعه دادند.

همانطور که بیان شد، تحقیقات صورت گرفته تاکنون بیشتر برای پمپ گریز از مرکز هنگام پمپاژ آب می باشد. بدیهی است که هرگونه تغییر در خواص فیزیکی مایع مورد انتقال موجب تغییر در رفتار پمپ می گیرد، لذا چگونگی تأثیر آنها در مشخصه های پمپ باید مورد توجه قرار گیرد.

با توجه به بررسی مطالعات صورت گرفته پارامترهای مؤثر بر عملکرد پمپ گریز از مرکز هنگام انتقال سیالاتی با لزjet زیاد مانند روغن های صنعتی، زاویه خروجی پره و پهنهای پاساژ پره می باشد. لذا در این پژوهش به کمک تست تجربی و مدلسازی عددی به بررسی اثرات همزمان دو پارامتر هندسی زاویه خروجی و پهنهای پاساژ بر روی عملکرد پمپ گریز از مرکز هنگام انتقال روغن پرداخته شده است. روشهای مختلف به کار گرفته شده ایده جایگزینی چرخ مناسب با لزjet را تأیید نموده و امکان به کارگیری یک پمپ برای پمپاژ چند سیال را به کمک چرخ های متحرک مختلف فراهم می سازد. که خود باعث کاهش هزینه های مربوط به انتقال سیالات با لزjet زیاد خواهد شد.

۲- مشخصات هندسه پمپ گریز از مرکز و سیال عامل

در این مطالعه به منظور بررسی عددی و تجربی میدان جریان پمپ گریز از مرکز، از هندسه پمپ ۶۵-۲۰۰ شرکت پمپیران که پمپی یک محوره با حلزونی بدون پره می باشد

یکی از کاربردهای مهم پمپ های گریز از مرکز ، انتقال سیالاتی با لزjet زیاد نسبت به آب در خطوط انتقال صنایع نفت و پتروشیمی می باشد. از آنجایی که این سیالات دارای لزjet بیشتری نسبت به آب می باشد، اثلاف هیدرولیکی در داخل پمپ افزایش می یابد. افزایش اثلاف منجر به کاهش بازده، کاهش ارتفاع پمپاژ و افزایش توان مصرفی پمپ خواهد شد. لذا می توان با اصلاح هندسه چرخ متحرک پمپ گریز از مرکز، به عنوان جزء اصلی آن، این اثلاف را به حداقل رساند و در مصرف انرژی صرفه جویی نمود.

بدلیل پیچیدگی زیاد جریان و هندسه در پمپ های گریز از مرکز، بررسی کامل الگوی جریان هنوز دارای ناشناخته های فراوان است. مطالعه تجربی نیز برای نمونه های مختلف هندسه چرخ متحرک و حلزونی پره زینه و وقتیگر می باشد، از این رو بررسی عددی جریان از روش های مناسبی است که امروزه به منظور بررسی الگوی جریان و محاسبه تلفات مورد استفاده قرار می گیرد، در ضمن با استفاده از پیش بینی روش های عددی می توان تعداد آزمایشات تجربی را کاهش داد.

تحقیقات صورت گرفته بر روی پمپ های گریز از مرکز و یا در حالت خاص پمپ های گریز از مرکز روغن حدوداً از سال ۱۹۲۶ تاکنون ادامه داشته است [۱ و ۲] پیشگامان این عرصه جهت یافتن عملکرد پمپ های روغن گریز از مرکز بر حسب تابعی از لزjet روغن گام های مهمی را برداشته اند که نتایج حاصل از این تحقیقات جهت طراحی و انتخاب این پمپ ها به کار رفته. امروزه به علت تغییر چشمگیر مدل های هیدرولیکی پمپ و ساختمن آنها نمی توان با دقت زیادی از این نتایج به دست آمده استفاده کرد.

اخیراً نیز محققانی بررسی های تجربی را بر روی پمپ های روغن گریز از مرکز انجام داده اند و اطلاعات جدیدی را در راستای عملکرد پمپ روغن گریز از مرکز جهت طراحی و انتخاب ارائه نموده اند [۳-۵]. در سال ۲۰۰۰ [۴]، لی، اثر تغییرات ناگهانی ارتفاع پمپاژ را در پمپ های روغن گریز از مرکز مورد بررسی قرار داد. این بررسی صرفاً به صورت تجربی می باشد. طبق این تحقیق در خروجی چرخ متحرک کمی لغزش وجود دارد که به علت لزjet سیال می باشد، لذا لزjet سیال نه تنها ضریب لغزش را تحت تأثیر قرار می دهد، بلکه سبب کاهش جریان در چرخ متحرک و حلزونی می گردد. در سال ۲۰۰۲ [۵]، لی، تعداد بهینه پره ها را برای چرخ متحرک زمانی که سیالات با لزjet های مختلف می شوند به دست آورد. در سال ۲۰۰۳ [۶]، گوگاییو، تحقیق مشابه ای را برای شبیه سازی عددی جریان دریک پمپ گریز از مرکز و برای سیال آب انجام داد. در سال ۲۰۰۳ [۷]

جدول ۱- مشخصات هندسی پره ها و نامگذاری آنها

F	E	D	C	B	A	نماد(واحد)	مشخصه پره
۴۲	۳۴	۴۲	۳۴	۴۲	۳۴	b_1 (mm)	پهنای گذرگاه ورودی
۲۱	۱۷	۲۱	۱۷	۲۱	۱۷	b_2 (mm)	پهنای گذرگاه خروجی
۳۲,۵	۲۰	۲۷,۵	۳۲,۵	۳۰	۲۷,۵	β_2 (°)	زاویه خروجی پره
۶	۶	۶	۶	۶	۶	Z	تعداد پره ها ضخامت پره
۳۵	۳,۵	۳,۵	۳,۵	۳,۵	۳,۵	$e_1 = e_2$ (mm)	متوسط پره

در این تحلیل تعریف هندسه کامل شامل سه بخش حلزونی و چرخ متحرک و لوله خروجی است که به منظور تحلیل کل پمپ به یکدیگر پیوند داده می شوند. سیال مورد استفاده در شبیه سازی عددی و تست تجربی، روغنی با چگالی 875 kg/m^3 و لزجت سینماتیکی $43 \text{ mm}^2/\text{s}$ در دمای 25°C می باشد.

۳- تشریح روش عددی

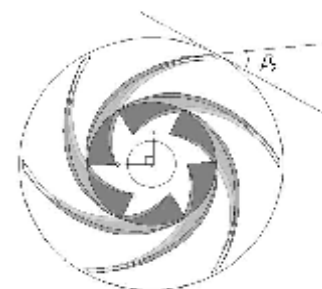
در این قسمت شبیه سازی عددی جریان سه بعدی در پمپ گریز از مرکز با شرایط کارکرد واقعی تشریح شده است. روند بررسی شامل بخش های تعریف هندسه و تولید شبکه (پیش پردازش)، گستته سازی معادلات حاکم و تحلیل آنها (پردازش) و ارائه نتایج به صورت دیاگرام و سطوح همتراز (پس پردازش) می باشد.

۱-۳- تولید شبکه

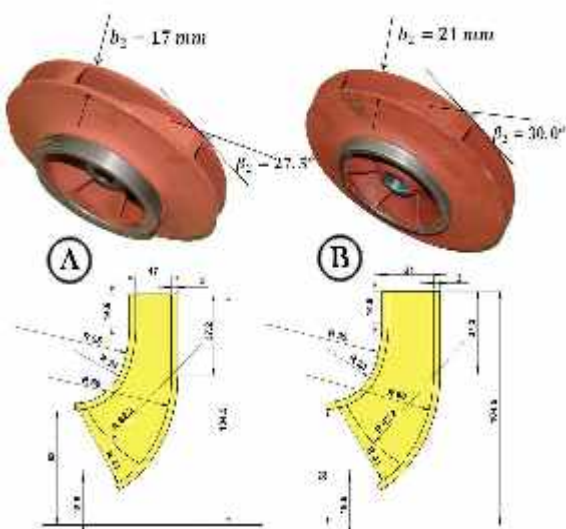
جهت تطابق هر چه بیشتر هندسه با قلمرو محاسباتی، در نزدیک دیواره ها شبکه بندی لایه مرزی از نوع سازمان یافته^۱ به کار گرفته شده است و در نواحی دور از دیواره از شبکه بندی بی سازمان استفاده شده است تا هندسه پیچیده را به صورت صحیح پوشش دهد. در تولید شبکه بندی بی سازمان از المان های شش وجهی، هرمی و گوهای در موقعیت های مناسب استفاده شده است که در شکل ۳ نشان داده شده است. همانگونه که در شکل ۳ مشاهده می شود میدان حل شامل حلزونی و چرخ متحرک و مجرای توسعه یافته به اندازه طول توسعه یافتگی در خروجی حلزونی است.

استفاده شده است. در شکل های ۱ و ۲ هندسه چرخ متحرک، زاویه خروجی پره پمپ گریز از مرکز مذکور و صفحه نصف النهاری در دو پهنای پاساز مختلف نشان داده شده است. تغییرات اعمالی در پره روی زاویه خروجی β_2 و پهنای گذرگاه خروجی b_2 می باشد. همانطوری که در شکل ۲ مشخص است در صفحه نصف النهاری می توان پهنای گذرگاه چرخ متحرک را تغییر داد، که تغییرات اعمال شده در هندسه اصلی با زاویه خروجی $27,5^\circ$ درجه و پهنای گذرگاه 17 mm میتر در جدول ۱ ارائه شده است. برای تغییر پهنای گذرگاه فاصله صفحه عقبی و جلویی را در صفحه نصف النهاری را افزایش می دهیم. لازم به ذکر است که تغییرات در زاویه خروجی پره بدون اعمال تغییرات در زاویه ورودی آن می باشد.

شش چرخ متحرک ذکر شده در جدول ۱ برای مطالعه عددی استفاده شده اند اما با توجه به نتایج حل عددی تنها پره های نوع A، B و C ساخته شده و مورد تست تجربی قرار گرفته اند که نتایج آنها با نتایج حل عددی مقایسه شده اند.



شکل ۱- نمای چرخ متحرک مدلسازی شده



شکل ۲- صفحه نصف النهاری در دو پهنای گذرگاه مختلف

¹. Structured Mesh

۳-۳- چارچوب مرجع چرخان

تحلیل جریان در پمپ گریز از مرکز به علت حرکت چرخشی منجر به بررسی دو نوع جریان غیر دائم و دائم می‌شود. اگر حلقه‌نی دارای پره‌های ساکن (دیفیوزر) باشد، به علت حرکت تناوی پره‌ها و تقابل بین پره‌های چرخ متحرک و پره‌های دیفیوزر جریان نسبت به چارچوب مرجع خارجی ساکن، از نوع غیردائم می‌باشد. ولی زمانیکه دیفیوزر، پره‌های ساکن نداشته باشد می‌توان با تعریف یک مرجع چرخان، جریان را به صورت دائم بررسی کرد.

هنگامی که معادلات حرکت ناویر- استوکس در یک چارچوب مرجع چرخان حل می‌شوند، شتاب سیال توسط یک عبارت اضافی در معادلات اندازه حرکت ظاهر می‌شود که در رابطه (۳) نشان داده شد [۱۵].

۴-۳- مدل آشفتگی

در این مطالعه جهت بررسی عددی جریان داخل پمپ گریز از مرکز از مدل آشفتگی دو معادله ای استفاده شده است. جهت تشریح و نحوه انتخاب مدل آشفتگی ابتدا دو مدل رایج و پرکاربرد معرفی و سپس با مقایسه آنها مدل SST ارائه می‌شود.

۴-۳-۱- مدل آشفتگی $\epsilon - k$

مدل آشفتگی $\epsilon - k$ مدل رایج در اکثر کارهای عددی می-باشد که یک مدل دو معادله‌ای است که یک معادله برای انرژی جنبشی و یک معادله برای نرخ اتلاف انرژی می‌باشد. معادلات حاکم بر این مدل به صورت زیر می‌باشد:

$$\frac{\partial}{\partial x_j} (\rho \bar{u}_j \kappa) = P_\kappa - \rho \epsilon + \frac{\partial}{\partial x_j} \left[\left(\mu + \frac{\mu_t}{\sigma_\kappa} \right) \frac{\partial \kappa}{\partial x_j} \right] \quad (5)$$

$$\frac{\partial}{\partial x_j} (\rho \bar{u}_j \epsilon) = c_{\epsilon 1} \frac{\epsilon}{\kappa} P_\kappa - c_{\epsilon 2} \rho \frac{\epsilon^2}{\kappa} + \frac{\partial}{\partial x_j} \left[\left(\mu + \frac{\mu_t}{\sigma_\epsilon} \right) \frac{\partial \epsilon}{\partial x_j} \right] \quad (6)$$

$$\mu_t = \rho c_\mu \frac{\kappa^2}{\epsilon} \quad (7)$$

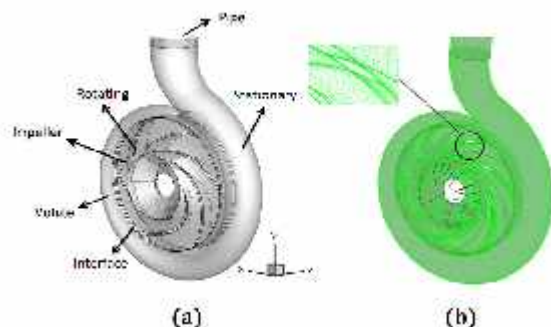
$$P_\kappa = \mu_t \left(\frac{\partial \bar{u}_i}{\partial x_j} + \frac{\partial \bar{u}_j}{\partial x_i} \right) \frac{\partial \bar{u}_i}{\partial x_j} - \frac{2}{3} \left(\rho \kappa + \mu_t \frac{\partial u_i}{\partial x_i} \right) \frac{\partial \bar{u}_\kappa}{\partial x_\kappa} \quad (8)$$

۴-۳-۲- مدل آشفتگی $k-\omega$

کاربرد این مدل در تحلیل جریان‌های آشفته بسیار معمول بوده و معادلات حاکم به شرح زیر است:

$$\frac{\partial}{\partial x_j} (\rho \bar{u}_j \kappa) = P_\kappa - C_\mu \rho k \omega + \frac{\partial}{\partial x_j} \left[\left(\mu + \frac{\mu_t}{\sigma_\kappa} \right) \frac{\partial \kappa}{\partial x_j} \right] \quad (9)$$

$$\frac{\partial}{\partial x_j} (\rho \bar{u}_j \omega) = \frac{\gamma}{\mu_t} P_\kappa - \beta' \rho \omega^2 + \frac{\partial}{\partial x_j} \left[\left(\mu + \frac{\mu_t}{\sigma_\omega} \right) \frac{\partial \omega}{\partial x_j} \right] \quad (10)$$



شکل ۳- نمای کلی پمپ گریز از مرکز مدل و شبکه مورد استفاده برای تحلیل جریان

۳-۳- معادلات حاکم

در متوسط گیری جریان‌های تراکم ناپذیر حالت دائمی، معادلات بقاء را می‌توان بر اساس مقادیر متوسط رینولدزی یا متوسط گیری زمانی حل کرد که متداول ترین روش در مدلسازی جریان‌های آشفته روش متوسط گیری زمانی است. با استفاده از این روش، برای جریان‌های تراکم ناپذیر، شکل کلی معادلات حاکم را می‌توان به صورت روابط (۱) تا (۴) بیان نمود. در این معادلات اثر عبارتهای ناشی از دوران جریان شامل نیروهای کریولیس^۱ و گریز از مرکز را نیز می‌توان به کمک اضافه نمودن عبارت چشممه به معادلات ممتدوم، مدلسازی کرد [۱۴].

چون سیال پمپ شده تراکم ناپذیر است و جریان حالت دائمی دارد، لذا معادله پیوستگی به صورت زیر می‌باشد:

$$\overline{\frac{\partial u_i}{\partial x_i}} = 0 \quad (1)$$

همچنین معادله بقای مومنتوم به همراه تعریف جمله چشممه و تنش برشی متوسط به صورت رابطه (۲) در می‌آید:

$$\frac{\partial}{\partial x_j} (\rho \bar{u}_i \bar{u}_j) = -\frac{\partial \bar{P}}{\partial x_i} + \frac{\partial}{\partial x_j} (\bar{\tau}_{ij} - \rho \bar{u}'_i \bar{u}'_j) + S_{u_i} \quad (2)$$

که در آن جمله چشممه شامل عبارت‌های ناشی از نیروهای گریز از مرکز و کریولیس به صورت معادله (۳) می‌باشد و تنش برشی متوسط از رابطه (۴) حاصل می‌گردد:

$$S_{u_i} = -\rho [2 \vec{\Omega} \times \vec{U} + \vec{\Omega} \times (\vec{\Omega} \times \vec{r})] \quad (3)$$

$$\bar{\tau}_{ij} = -\mu \left(\frac{\partial \bar{u}_i}{\partial x_j} + \frac{\partial \bar{u}_j}{\partial x_i} \right) \quad (4)$$

به منظور استفاده از تراکم شبکه در نزدیکی دیواره‌های صلب، تابع قانون دیواره به معادلات مدل آشفتگی اعمال می‌شود. این تابع به گونه‌ای انتخاب می‌شود که تمامی نقاط شبکه بیرون از زیر لایه لزج قرار گیرند.

^۱. Coriolis

کرد. اما نوع برخورد با معادلات به صورت حجم محدود است [۱۵]. همانگونه که در معادلات زیر ارائه می‌شود، روش حجم محدود با انتگرال گیری از معادلات بر روی یک حجم کنترل انتخابی به کمک تئوری گوسی پیاده سازی می‌شود. در این روش فضای محاسباتی به المانهای کوچک تقسیم شده و سطوح حجم کنترل بر روی صفحه میانی هر یک از المانها تعریف می‌شود. در این حالت برای هر یک از المانهای شبکه، یک حجم کنترل شکل می‌گیرد، که مرزهای آن در مختصات دو بعدی، با هشت خط در فضای سه بعدی، به کمک ۲۴ صفحه چهار ضلعی تعریف می‌گردد. سپس معادلات انتگرال گیری شده به صورت مجزا به هر یک از این حجمها کنترل اعمال می‌شود، و انتگرال گیری سطحی در نقاط انتگرال گیری^۳ به حالت گسسته تبدیل می‌شود. در مختصات سه بعدی المان شار شامل دوازده صفحه انتگرال گیری است که در هر کدام یک نقطه انتگرال گیری وجود دارد. شارهای سطح بصورت مجزا در نقاط انتگرال گیری ارائه می‌شود، که در انتهای شکل گسسته شده معادلات به شکل زیر ارائه می‌گردد.

$$\frac{\partial}{\partial t} \int_v \rho dv + \int_s \rho u_j dn_j = 0 \quad (16)$$

$$\frac{\partial}{\partial v} \int_s \rho u_i dv + \int_s \rho u_i u_i dn_j = - \int_s P d\eta_j + \int_s \mu \left(\frac{\partial u_i}{\partial x_j} + \frac{\partial u_j}{\partial x_i} \right) d\eta_j + \int_v S_{u_i} dv \quad (17)$$

$$\frac{\partial}{\partial v} \int_s \rho \phi dv + \int_s \rho u_i \phi dn_j = \int_s \Gamma \left(\frac{\partial \phi}{\partial x_j} \right) d\eta_j + \int_s \mu \left(\frac{\partial u_i}{\partial x_j} + \frac{\partial u_j}{\partial x_i} \right) d\eta_j + \int_v S_\phi dv \quad (18)$$

در این حل عددی تمامی مؤلفه‌های برداری سرعت برای سطوح در مختصات دکارتی محاسبه می‌شود و تمامی شارهای جریان در نقاط انتگرال گیری بدست می‌آیند. نقاط انتگرال گیری برای هر یک از حجم‌ها در اشتراک با حجم‌های مجاور قرار داشته و شار خروجی هر یک از حجم‌های کنترل با مقدار شار وارد به حجم مجاور برابر است. از این طریق قوانین بقاء به شرح ذیل برای معادلات کاملاً ارضامی شود که از نقاط قوت این روش عددی است.

$$\rho V \left(\frac{\rho - \rho^o}{\Delta t} \right) + \sum_{ip} (\rho u_j \Delta n_j)_{ip} = 0 \quad (19)$$

$$\rho V \left(\frac{u_i - u_i^o}{\Delta t} \right) + \sum_{ip} \dot{m}_{ip} (u_i)_{ip} = \sum_{ip} (P \Delta \eta_i)_{ip} + \sum_{ip} \left(\mu \left(\frac{\partial u_i}{\partial x_j} + \frac{\partial u_j}{\partial x_i} \right) \Delta \eta_j \right)_{ip} + \bar{S}_{ui} V \quad (20)$$

$$\rho V \left(\frac{\phi - \phi^o}{\Delta t} \right) + \sum_{ip} \dot{m}_{ip} \phi_{ip} = \sum_{ip} \left(\Gamma \frac{\partial \phi}{\partial x_j} \Delta n_j \right)_{ip} + \bar{S}_\phi V \quad (21)$$

$$\mu_t = \rho c_\mu \frac{\kappa^2}{\omega} \quad (11)$$

$$P_\kappa = \mu_t \varphi \quad (12)$$

۳-۴-۳- مدل آشفتگی SST

مدل آشفتگی SST دارای مزایای هر دو مدل آشفتگی $\epsilon - k - \omega$ می‌باشد. این مدل ابتدا جمله تولید انرژی در معادله انتقالی انرژی جنبشی را اصلاح می‌کند. در مدل SST معادله (۱۲) با عبارت زیر جایگزین می‌شود:

$$P_k = \min(\mu_t \varphi, C_{lmt} \epsilon) \quad (13)$$

در حالت عادی مقدار C_{lmt} برابر 10^{15} در نظر گرفته می‌شود. در واقع معادله (۱۳) همان معادله (۱۲) است که مدل SST مقدار مناسب را با توجه به ناخیه موردنظر انتخاب می‌کند. علاوه بر این در مدل SST جمله جدیدی برای اتفاقات در معادله ظاهر می‌شود که به صورت معادله (۱۴) است.

$$\frac{(1 - F_1) 2 \rho \sigma_{\omega_2}}{\omega} \left[\frac{\partial k}{\partial x} \frac{\partial \omega}{\partial x} + \frac{\partial k}{\partial y} \frac{\partial \omega}{\partial y} + \frac{\partial k}{\partial z} \frac{\partial \omega}{\partial z} \right] \quad (14)$$

در معادله (۱۴)، F_1 تابع اختلاط در نزدیکی سطح دیواره است که در نواحی دور از دیواره صفر می‌باشد. مقدار تابع اختلاط توسط منتر [۱۵] آورده شده است.

به کمک مقدار F_1 مدل SST به طور اتوماتیک از مدل $k - \omega$ در نواحی نزدیک دیواره و از مدل $\epsilon - k$ در نواحی دور از دیواره استفاده می‌کند.

کلیه ضرایب موجود در مدل SST بر حسب تابعی از F_1 محاسبه می‌شوند که

$$\varphi = F_1 \varphi_1 + (1 - F_1) \varphi_2 \quad (15)$$

φ ضریب اصلی مدل SST است و φ_1 از مدل $k - \omega$ و φ_2 از مدل $\epsilon - k$ محاسبه می‌شوند.

با توجه به توضیحات فوق و مطالعات انجام شده روی دو مدل $\epsilon - k - \omega$ نتیجه گیری می‌شود که جریان در نزدیکی دیواره را با مدل $k - \omega$, SST می‌توان با دقت بالا بررسی کرد و نتایج حاصله دقت بهتری از مدل‌های سازنده آن دارند.

۳-۵- گسسته سازی معادلات و روش حل

در حل عددی توسعه یافته از روش حجم محدود^۱ برای گسسته سازی معادلات استفاده شده است، اما تحلیل هندسه بر پایه روش المان محدود^۲ بنا شده است. به گونه‌ای که در این حل، از روش المان محدود در برخورد با هندسه استفاده می‌شود، لذا می‌توان از انعطاف پذیری هندسه روش المان محدود استفاده

¹. Finite volume

². Finite element

³. Integration point

۷-۳- تحلیل عدم ابستگی نتایج به شبکه‌بندی

تعداد شبکه بهینه برای کاهش زمان حجم محاسبات و دقت کافی در نتایج مورد بررسی قرار گرفته است. همچنین فشار خروجی برای شرایط ورودی در بهترین نقطه عملکرد به عنوان پارامتر ارزیابی تأثیر اندازه شبکه بر روی حل استفاده شده است. در نهایت کمترین تعداد شبکه مستقل که به ازای آن فشار خروجی با تغییر قابل چشم پوشی به دست می‌آید، محاسبه شده است. جدول ۲ تعداد شبکه‌های مستقل را برای پمپ گریز از مرکز برای پمپاز سیالات لزج در زاویه خروجی ۲۷,۵ درجه و پهنای گذرگاه ۱۷ میلیمتر نشان می‌دهد.

جدول ۲- تعداد المان‌های مستقل

فشار خروجی(Pa)	تعداد المان‌ها
۱۸۰۱۶۹	۱۸۴۲۴۸۲
۱۷۸۸۸۸	۲۱۷۳۶۰۴
۱۷۸۲۶۱	۳۲۷۷۲۲۶

همانطور که مشاهده می‌شود با توجه به جدول فوق در تعداد المان ۳۲۷۷۲۶ تغییرات زیادی در فشار خروجی حاصل نمی‌شود. تعداد المان‌ها شامل مجموع المان‌ها در چرخ متحرک، حلوونی و لوله خروجی می‌باشد.

۴- تشریح روش تجربی

برای به دست اوردن عملکرد پمپ گریز از مرکز از مدار تستی مطابق شکل ۴ استفاده شده است. این مدار به گونه‌ای طراحی شده است که روغن توسط پمپ از مخزن مکش، مکیده شده و به مخزن رانش پمپاز شود. در داخل مخزن مکش برای اینکه جریان با کمترین اختشاش وارد پمپ شود از موج گیرهایی استفاده شده است. در لوله رانش پمپ، یک عدد شیر پروانه‌ای برای تنظیم دبی پمپ قرار داده شده است. برای اندازه گیری دبی شیر خروجی مخزن تخلیه بسته شده و زمان لازم برای افزایش ارتفاع خاصی از مخزن تخلیه اندازه گرفته می‌شود، به این ترتیب دبی پمپ محاسبه می‌شود. با تنظیم شیر رانش برای دبی های مختلف و اندازه گیری دبی و فشار های مکش و رانش و نیز توان ورودی به پمپ می‌توان منحنی های عملکرد آن را به دست آورد.

که در آن دبی جرمی از رابطه زیر حاصل می‌گردد:

$$\dot{m}_{ip} = (\rho u_j \Delta n_j)_{ip}^o \quad (22)$$

جملات نفوذ^۱ به کمک توابع وزنی روش المان محدود محاسبه می‌شود و در معادلات ممتدوم انتگرال سطح عبارتهای گرادیان فشار، در نقاط انتگرال گیری مشخص می‌شود. عبارتهای جابجایی با روش SUDS^۲ مورد تحلیل قرار گرفته اند که در این روش جملات جابجایی^۳ با جهت جریان همراستا می‌شوند.

در این مطالعه الگوریتم High Resolution در حل معادلات دیفرانسیل کوپل با مراتب مختلف از خود نشان داده است. به گونه‌ای که برای معادلات پیوستگی و جابجایی ممتدوم از مرتبه دوم و برای معادلات مرتبط با مدل آشفتگی از مرتبه اول طرح اختلاف بالادست استفاده شده است. ضمناً، مدل آشفتگی به کار گرفته شده قابلیت تغییر قوانین را بحسب فاصله و اثر لزجت از خود نشان داده و در نتیجه برای مورد مذکور جوابهای بسیار مناسبی را به دست می‌دهد. همچنین در این حل عددی از حلگر کوپل شده استفاده شده است به طوریکه معادلات هیدرودینامیکی (u,v,w,p) را در یک سیستم حل می‌شوند.

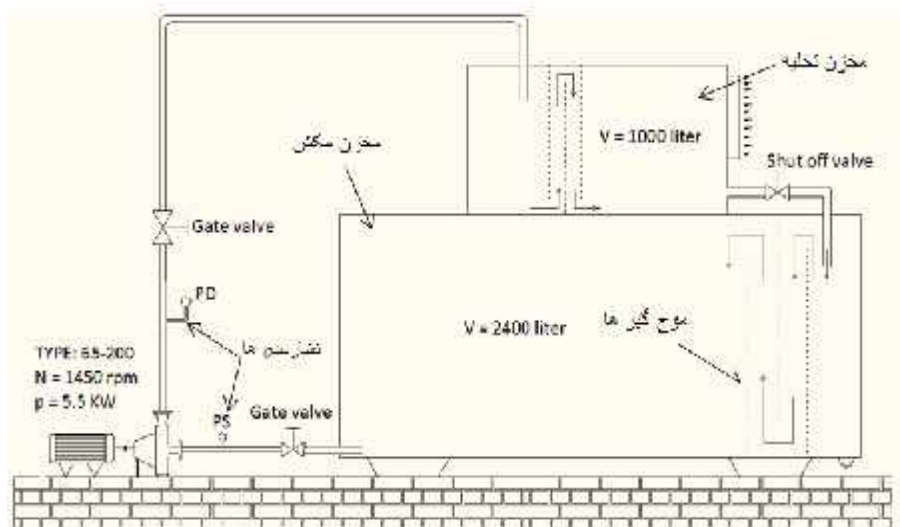
۶-۳- شرایط مرزی

در مرز ورودی به پمپ (ورود به چرخ متحرک) فشار استاتیکی مخزن مشخص می‌شود. با توجه به اینکه جریان ورودی به پمپ از مخزن مکش با حجم بالا صورت می‌گیرد که جریان آن قبل^۴ توسط سپرهایی آرام شده است، شدت آشفتگی به طور متوسط ۵٪ در نظر گرفته می‌شود که با توجه به سیستم موجود و مشاهده جریان در ورودی پمپ به صورت کاملاً تجربی انتخاب شده است. در صفحه خروجی لوله متصل به حلوونی دبی جرمی یا سرعت خروجی تعریف می‌شود. همچنین پره چرخ متحرک و بخش دور در مختصات دور و حلوونی و لوله متصل به آن در مختصات ثابت مدل می‌شوند. با توجه به اینکه در این تحلیل کل پمپ مدل می‌گردد، در مرزهای حامد که شامل بدن، پره چرخ متحرک و حلوونی می‌باشد شرط عدم لغزش با زبری نسبی $100\mu m$ اعمال می‌گردد که این مقدار زبری در تنش‌های رینولدز و عبارت‌های تنش برشی در معادلات حاصل می‌شود. در ناحیه برخورد بین بخش‌های ثابت و دور سرعت مماسی متوسط بین این دو بخش با حل همزمان این دو ناحیه تعیین می‌شود.

¹. Diffusion terms

². Skew upwind differencing schemes

³. Advection terms



شکل ۴- طرحواره مدار تست عملکرد پمپ

۱-۴- محاسبات مربوط به اندازه گیری دبی حجمی جریان

زبری نسبی لوله محاسبه می شود. ضمناً، از افت ارتفاع پمپاژ در لوله ورودی به پمپ به دلیل کوتاه بودن مسیر از آن صرف نظر شده است.

۲-۴- محاسبات مربوط به اندازه گیری بازده

توان ورودی به پمپ از طریق اندازه گیری توان الکتریکی ورودی به الکتروموتور اندازه گرفته می شود. به این ترتیب که توان ورودی الکترومتر توسط یک عدد وات متر اندازه گیری شده و در بازده الکتروموتور که برای الکتروموتور موجود در این آزمایش برابر ۰/۸۳ است، ضرب می شود، به این ترتیب توان مصرفی پمپ به دست می آید.

$$P_{in,pump} = P_{out,elec.} = \eta_{elec.} \times P_{in,elec.} \quad (26)$$

با به دست اوردن توان ورودی به پمپ می توان بازده را طبق رابطه زیر به دست آورد.

$$\eta = \frac{P_{out,pump}}{P_{in,pump}} = \frac{\gamma Q H}{P_{in,pump}} \quad (27)$$

در رابطه فوق H ارتفاع پمپاژ، Q دبی حجمی، P می توان مصرفی و γ وزن مخصوص سیال است. با استفاده از ابزارهای اندازه گیری موجود و روابط فوق برای دبی، ارتفاع پمپاژ، بازده و توان مصرفی بیشترین درصد عدم قطعیت به ترتیب برابر با ۱۰/۱٪، ۲۰/۲٪ و ۱۵/۱٪ محاسبه شده است که نشان دهنده دقیق مناسب روش تجربی می باشد.

۳- بررسی نتایج

۴- منحنی ارتفاع پمپاژ - دبی حاصل از حل عددی

برای اندازه گیری دبی شیر خروجی مخزن تخلیه بسته شده و افزایش ارتفاع مخزن و زمان لازم برای افزایش ارتفاع اندازه گیری می شود. دبی با توجه به رابطه زیر محاسبه می شود.

$$Q = \frac{A \cdot \Delta h}{t} \quad (23)$$

که در آن A سطح مقطع، h ارتفاع مخزن و t زمان پر شدن مخزن می باشد.

۵- محاسبات مربوط به اندازه گیری هد پمپ

ارتفاع پمپاژ پمپ طبق رابطه برنولی بین فشارسنج های مکش و رانش و به صورت زیر محاسبه می شود. قابل ذکر است که قطر لوله مکش و رانش باهم برابر است و رابطه برنولی ساده شده نشان داده شده است.

$$H = \left(\frac{P_d - P_s}{\gamma} \right) + Z_2 - Z_1 + H_l \quad (24)$$

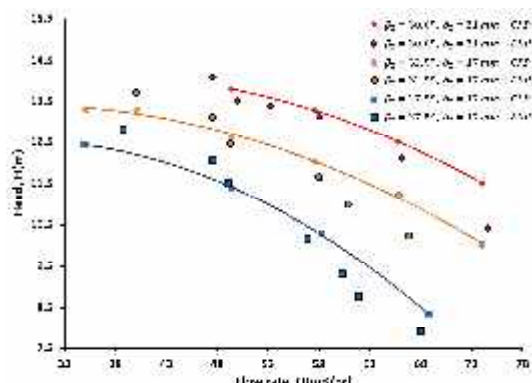
در این رابطه Z ارتفاع سیال در ورودی و خروجی و p فشار اندازه گیری شده در سمت مکش و رانش پمپ است. H_l افت ارتفاع پمپاژ در لوله خروجی است و از رابطه زیر محاسبه می شود:

$$H_l = f \frac{L_2}{d_2} \frac{V^2}{2g} \quad (25)$$

سرعت جریان بوده و از تقسیم دبی پمپ بر سطح مقطع لوله قابل محاسبه بوده و ضریب اصطکاک با توجه به عدد رینولدز و

جدول ۳- مقایسه نتایج عددی و تجربی

درصد خطای متوسط (%)	ارتفاع پمپاژ	ارتفاع پمپاژ	دبی حجمی	پهنای گذرگاه زاویه خروجی	دیجیتی	ارتفاع پمپاژ	ارتفاع پمپاژ	دیجیتی	ارتفاع پمپاژ	ارتفاع پمپاژ	دیجیتی
	m	m	m ³ /hr	deg	mm	m	m	m	m	m	m
۲۷.۵	۱۷	۳۴.۹۱	۱۲.۴۳	۱۳.۴۲	۷.۳۷						
		۴۹.۳۷	۱۱.۳۹	۱۱.۹۱	۴.۳۶						
		۵۸.۲۱	۱۰.۲۷	۱۰.۴۰	۱.۲۶						
		۶۸.۸۰	۸.۳۳	۸.۰۸	۳.۰۱						
۳۲.۵	۱۷	۳۵.۰۴	۱۳.۲۹	۱۳.۹۱	۴.۴۵						
		۴۰.۰۹	۱۳.۲۸	۱۳.۲۰	۰.۶۰						
		۴۷.۴۸	۱۱.۷۳	۱۲.۱۵	۳.۴۵						
		۴۹.۳۳	۱۱.۵۸	۱۱.۴۴	۱.۲۲						
۳۰	۲۱	۴۹.۳۷	۱۳.۷۹	۱۳.۸۴	۰.۳۶						
		۵۷.۶	۱۳.۲۷	۱۳.۰۰	۲.۰۲						
		۶۵.۸۳	۱۲.۴۸	۱۲.۰۱	۳.۹۱						
		۷۴.۰۶	۱۱.۴۹	۱۰.۸۵	۵.۸۹						
درصد خطای متوسط (%)						۳.۱۶					



شکل ۶- مقایسه منحنی ارتفاع پمپاژ - دبی عددی و تجربی

شکل ۳- سطوح همتراز فشار استاتیک

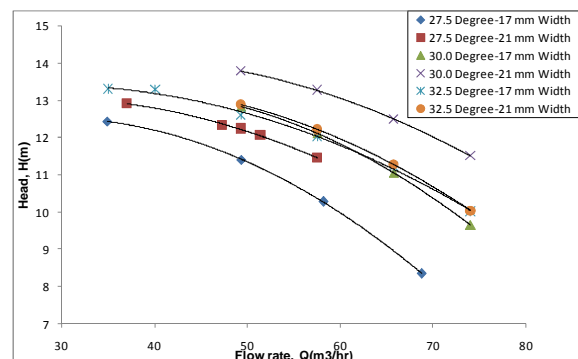
سطح همتراز فشار استاتیک یکی از مهمترین ابزارها جهت بررسی صحت نتایج عددی با نتایج حاصل از تست می-باشد. از طرفی وقتی که پمپ گریز از مرکز سیال با لزجت بالا را پمپ میکند، به علت افزایش افت‌های هیدرولیکی و اصطکاک پوسته‌ای، ارتفاع پمپاژ در مقایسه با آب کاهش می‌یابد. لذا سطوح همتراز فشار استاتیک نیز باید بیانگر این مطلب باشند.

شکل ۷ سطوح همتراز فشار استاتیک سیال روغن در شرایط کاری بهترین بازده را برای هندسه‌های مختلف چرخ متحرک نشان میدهد. همانطور که مشاهده می‌شود چرخ متحرک با زاویه ۳۰ درجه و پهنای گذرگاه ۲۱ میلی‌متر دارای بیشترین فشار خروجی می‌باشد.

برای به دست آوردن منحنی ارتفاع پمپاژ - دبی پمپ‌های گریز از مرکز در حالت جریان دائمی و آشفته و سیال تراکم‌ناپذیر در شرایط کاری مختلف یعنی بارکم (PL)، نقطه بهترین بازده (BEP) و بار بالا (OL) مقدار ارتفاع پمپاژ محاسبه می‌شود:

$$H = \frac{P_{t2} - P_{t1}}{\rho g} \quad (28)$$

منحنی ارتفاع پمپاژ - دبی حاصل از حل عددی برای پمپ سیالات لزج در شکل ۵ نشان داده شده است. نتایج عددی نشان می‌دهد که پمپ گریز از مرکز با زاویه خروجی پره ۳۰ درجه و پهنای پاساژ ۲۱ میلی‌متر چرخ متحرک دارای بیشترین هد در پمپاژ روغن می‌باشد. لذا پمپ مورد نظر ساخته شده و نتایج آن مورد مقایسه قرار گرفته است.



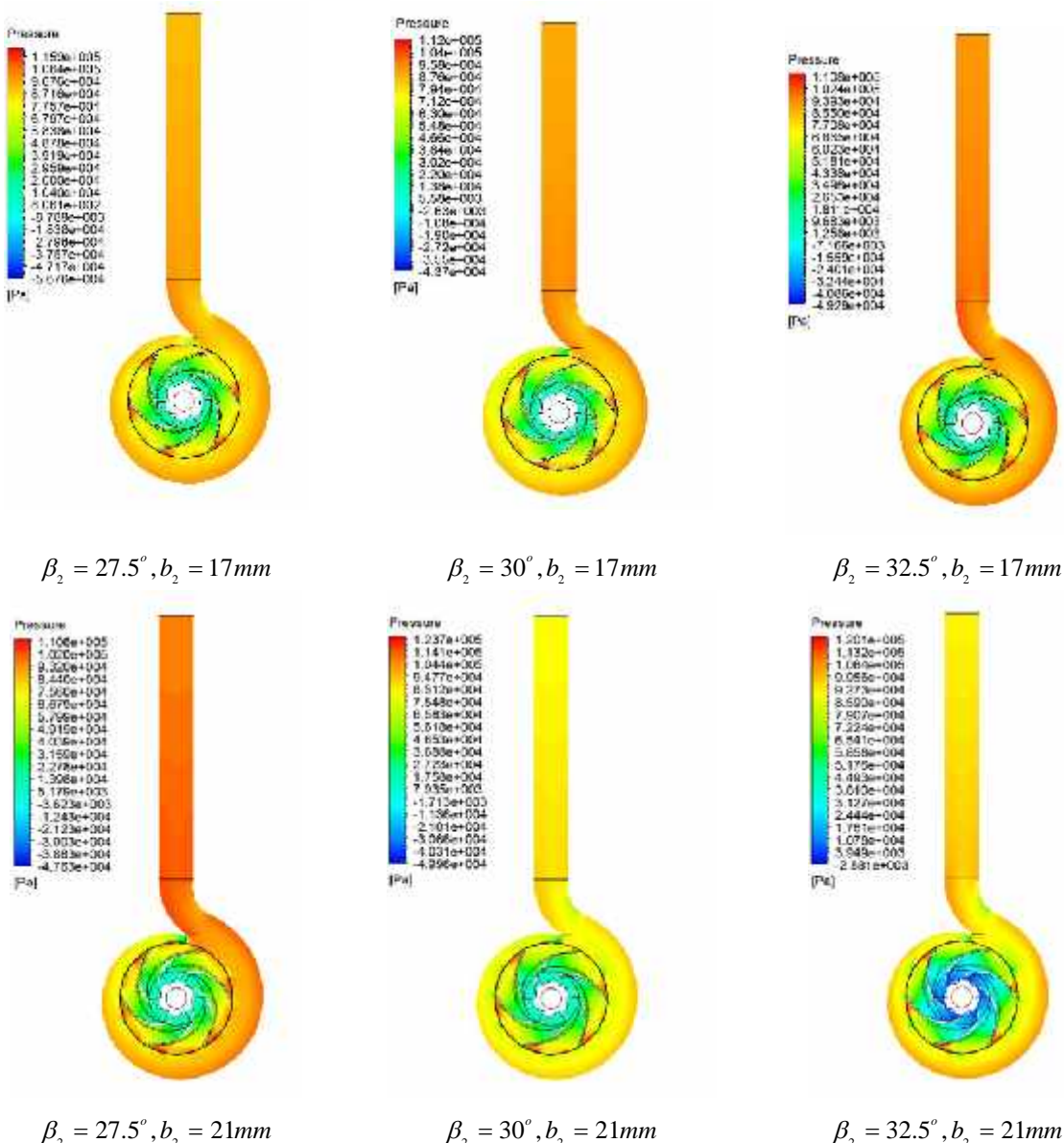
شکل ۵- منحنی ارتفاع پمپاژ - دبی پمپ گریز از مرکز در هندسه‌های متفاوت

۲-۵- مقایسه نتایج عددی و تجربی

به علت محدودیت‌های آزمایشگاهی نتایج تجربی صرفأ برای روغن در سه نوع چرخ متحرک با زاویه خروجی پره ۲۷.۵ در پهنای گذرگاه ۱۷ میلی‌متر، زاویه خروجی پره ۳۲.۵ درجه در پهنای گذرگاه ۱۷ میلی‌متر و زاویه خروجی پره ۳۰ درجه در پهنای پاساژ ۲۱ میلی‌متر مورد انجام گرفته است. با وجود همین تعداد آزمایش می‌توان صحت شبیه‌سازی عددی را برای زوایای دیگر با سیالات مختلف انجام داد و نتایج حاصل را بدون انجام آزمایش پذیرفته.

جدول ۳ و شکل ۶ مقایسه نتایج عددی و تجربی منحنی ارتفاع

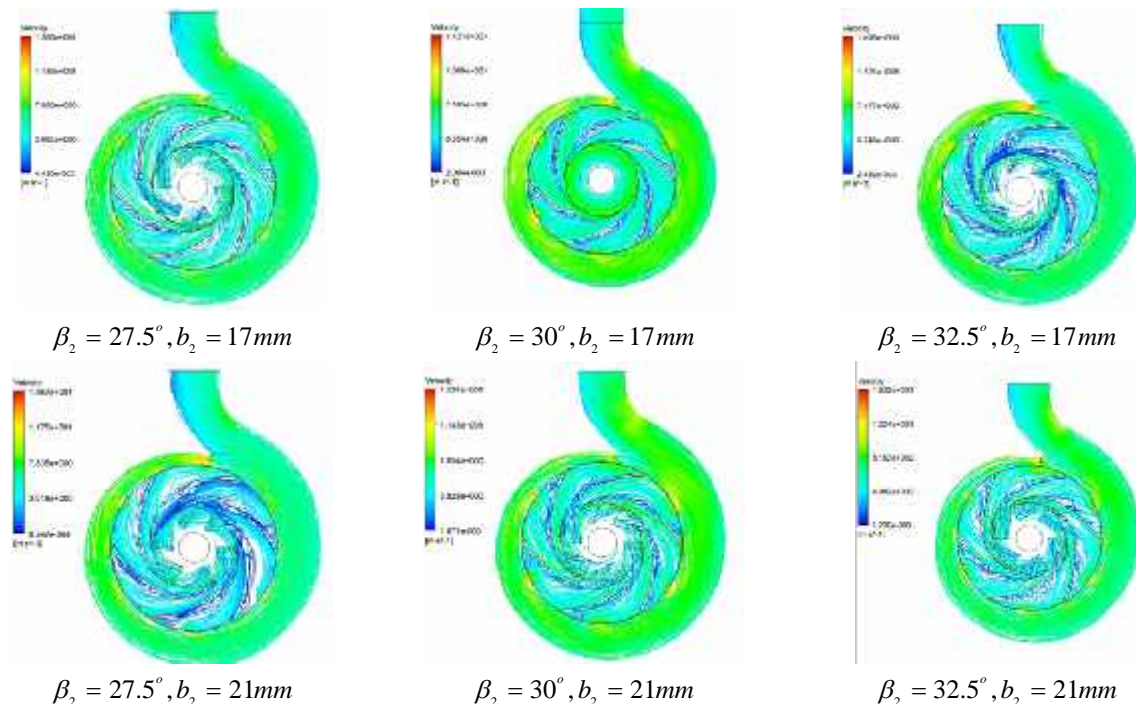
پمپاژ - دبی و میزان خطای محاسبه شده را هنگام پمپاژ روغن برای پمپ گریز از مرکز ارائه می‌دهند. طبق این جدول، نتایج عددی و تجربی مطابقت مطلوبی را دارا می‌باشند.



شکل ۷- سطوح همتراز فشار استاتیک برای هندسه های مختلف در نقطه بهترین بازده

برای شرایط کاری بهترین بازده را نشان می‌دهد. همانطور که ملاحظه می‌شود در زاویه خروجی 30° درجه با پهنه‌ای گذرگاه ۲۱ میلی‌متر جریان یکنواخت و گردابه‌های کمتری وجود دارد.

۴-۵- بررسی جریان در چرخ متحرک
بهبود عملکرد را می‌توان در جدایش جریان در گذرگاه چرخ متحرک جستجو کرد. شکل ۸ خطوط جریان سه بعدی را در شبیه‌سازی‌های عددی انجام شده در هندسه‌های مختلف



شکل ۸- خطوط جریان برای هندسه های مختلف در نقطه بهترین بازده

۶- نتیجه گیری

با توجه به مقایسه عملکرد پمپ گریز از مرکز برای پرههای مختلف هنگام انتقال روغن نتایج زیر به دست می آید:

- ✓ روشهای عددی و تجربی به کار گرفته شده ایده جایگزینی چرخ مناسب با لزحت را تأیید نموده و امکان به کارگیری یک پمپ برای پمپاز چند سیال را به کمک چرخ های متحرک مختلف فراهم می سازد. این امر باعث کاهش هزینه های مربوط به انتقال سیالات با لزحت زیاد می شود.
- ✓ روش عددی با نتایج تجربی مطابقت خوبی نشان داده و ایده نوین به کار گرفته شده در پمپاز روغن موجب بهبود عملکرد پمپ در نوع B به شرح زیر شده است:

کاهش توان مصرفی پمپ به میزان $\%8.6$

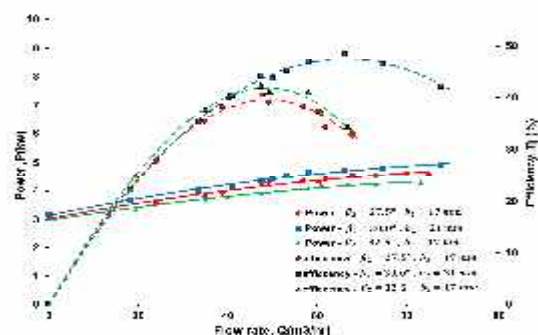
افزایش بازده پمپ به میزان $\%8.1$

افزایش ارتفاع پمپاز تولیدی به میزان $\%12.7$

- ✓ ملاحظه می شود که با افزایش زاویه خروجی پره به 32.5 درجه، بازده در تمام دیهای کاری پمپ گریز از مرکز نسبت به پره اصلی افزایش می یابد، ولی با افزایش زاویه خروجی پره به 30 درجه و افزایش پهنای پاساژ به 21mm ، بازده در بار کم کاهش یافته و در دبی بازده بهینه و بار زیاد بیشترین بازده را نسبت به پره های دیگر خواهد داشت. بهبود عملکرد

۵- منحنی های توان مصرفی و راندمان بر حسب دبی

در شکل ۹ منحنی های توان مصرفی و بازده پمپ گریز از مرکز بر حسب دبی حجمی هنگام انتقال روغن نشان داده شده است. این نتایج نشان می دهد که هر چند توان مصرفی پمپ با زاویه خروجی 30 درجه و پهنای گذرگاه 21 میلیمتر افزایش یافته است اما به دلیل افزایش همزمان ارتفاع پمپاز آن، بازده پمپ در این حالت به خصوص در نواحی بهترین بازده و بار زیاد بیشتر از سایر چرخ ها می باشد. دلیل این اتفاق کاهش اتلافات اصطکاکی و مقاومت هیدرولیکی سیال با افزایش زاویه خروجی و پهنای گذرگاه به طور همزمان می باشد.



شکل ۹- منحنی های توان مصرفی و بازده بر حسب دبی مصرفی برای چرخ های مختلف هنگام پمپاز روغن

- [11] Shojaeefard, M. H., Ehghaghi, M. B. & Boyaghchi, F. A. Year. "Studies on the influence of various blade outlet angles in a centrifugal pump when handling viscous". American Journal of Applied Sciences 4 (9), pp. 718-724, 2007 .
- [12] V. Grapsas V., Stamatelos F., Anagnostopoulos J. and Papantonis D., "Numerical study and optimal blade design of a centrifugal pump by evolutionary algorithms", 12 Intl. Conference on Knowledge-Based and Intelligent Information & Engineering Systems, KES2008, Zagreb, Croatia, September 3-5, 2008.
- [13] Klimovskii, K. K. "Improving the efficiency of a centrifugal pump", Thermal Engineering (English translation of Teploenergetika), Vol.55, pp. 253-254, 2008.
- [14] Anagnostopoulos, J. S., "A fast numerical method for flow analysis and blade design in centrifugal pump impellers". Computers & Fluids, 38, 284-289, 2009.
- [15] Asuaje, M., Bakir, F., Kouidri, S., Kenyery, F., and Rey, R., "Numerical modelization of the flow in centrifugal pump: volute influence in velocity and pressure fields", International Journal of Rotating Machinery, Vol. 3, pp. 244-255, 2005.
- [16] Menter, F. R., "Two-equation eddy-viscosity turbulence models for engineering applications". AIAA journal, 32, 1598-1605, 1994.

پمپ به علت کاهش مقاومت هیدرولیکی به وسیله افزایش پهنای گذرگاه و کاهش اثرات گردابهای خروجی با تغییر زاویه خروجی پره رخ داده است و منجر به ایجاد ارتفاع پمپاژ و راندمان بالاتر شده است. ✓ نقطه بهترین نقطه بازده (BEP) به نقطه ای با دبی حجمی، ارتفاع پمپاژ و راندمان بالاتر جایجا شده است به عبارت دیگر با تغییرات صورت گرفه عملکرد بهتر در دبی حجمی بالاتری رخ می دهد که خود از لحاظ مهندسی و اقتصادی ارزشمند است.

مراجع

- [1] Dauherty, R. L., "A Further Investigation of Performance of Centrifugal Pump When Pumping Oils", Bulletin 130, Gould Pumps, Inc., 1926.
- [2] Ippen, A. T. "The Influence of Viscosity on Centrifugal Pump Performance", Trans. ASME, pp.823, 1946.
- [3] Li, W. G. and Deng D. L., "Reynolds Number of Centrifugal Oil Pumps and Its Effects on the Performance", Pump Technology, No. 3, pp. 10-13, 1999.
- [4] Li, W. G., "The Sudden- Rising Head Effect in Centrifugal Oil Pumps", World Pumps, October 2000.
- [5] Li, W. G. "Influence of the number of impeller blades on the performance of centrifugal oil pumps". World Pumps, 32-35, 2002.
- [6] Gugau, M., "Transient Impeller-Volute Interaction in a Centrifugal Pump", Technich Universitat Darmstadt, FG Turbomaschine und Fluidantriebstechnik, Petersentrassse 30, 64287 Darmstadt, 2003.
- [7] Zhou, W., Zhao, Z., Lee, T. S. & Winoto, S. H. "Investigation of Flow Through Centrifugal Pump Impellers Using Computational Fluid Dynamics". The International Journal of Rotating Machinery, 9, 49-61, 2003.
- [8] Kergourlay, G., Younsi, M., Bakir, F. & Rey, R. 2007. Influence of splitter blades on the flow field of a centrifugal pump: Test-analysis comparison. International Journal of Rotating Machinery, 2007.
- [9] Cheah, K. W., Lee, T. S., Winoto, S. H. & Zhao, Z. M.. "Numerical flow simulation in a centrifugal pump at design and off-design conditions". International Journal of Rotating Machinery, 2007.
- [10] Shojaeefard M. H., Boyaghchi F. A., Ehghaghi M. B., "Experimental Study and Three-Dimensional Numerical Flow Simulation in a Centrifugal Pump when Handling Viscous Fluids". IUST International Journal of Engineering Science, 17, No.3-4, 53-60, 2006.